

## КРАТКИЕ СООБЩЕНИЯ

**ВЛИЯНИЕ ПРОЦЕССА РАДИАЦИОННОГО ДЕФЕКТООБРАЗОВАНИЯ  
НА ДИФФУЗИОННЫЙ ПРОФИЛЬ РАСПРЕДЕЛЕНИЯ АЛЮМИНИЯ  
В КРЕМНИИ ПРИ ЭЛЕКТРОННОМ ОБЛУЧЕНИИ**

Махкамов Ш., Пахаруков Ю. В., Юнусов М. С.

В технологии изготовления полупроводниковых приборов при формировании  $p-n$ -структур широко используется радиационно-стимулированная диффузия (РСД), позволяющая управлять формой профиля распределения примеси [1-4]. Однако при этом необходимо учитывать влияние дефектов, состоящих из междуузельных атомов матрицы и примеси, не участвующей в процессе переноса. Этот вопрос хорошо разработан применительно к ионному облучению. При электронном облучении из имеющихся экспериментальных данных до сих пор невозможно выявить роль дефектов в РСД. Так, из работ [1, 2] следует, что ускорение диффузии мигрирующих примесей в кремнии наблюдается при температурах не ниже 700 °C.

В работах [3, 4] образцы Si, в которых предварительно методом термической диффузии Al создавался  $p-n$ -переход с глубиной залегания от 0.3 до 110 мкм, облучались электронами с энергией 1.8–3.2 МэВ. Плотность тока пучка при этом составляла 1 мкА/см<sup>2</sup>. После облучения авторы [3, 4] обнаружили смещение  $p-n$ -перехода в глубь образца, величина которого зависела от его начальной глубины залегания, а также увеличение обратного пробивного напряжения, что объяснялось глубоким смещением  $p-n$ -перехода.

Из анализа вышеупомянутых литературных данных следует, что мнения авторов расходятся. В связи с этим представляет интерес сравнить указанные результаты с расчетными.

В данной работе на основе междуузельного механизма рассмотрено перераспределение Al в Si в условиях электронного облучения при  $T \leq 60$  °C после формирования  $p-n$ -структуры термической диффузией Al.

При анализе перераспределения Al на границе  $p-n$ -перехода кремниевых структур после электронного облучения использовались предположения о большом коэффициенте диффузии междуузельного атома Al, а также то, что вакансии и междуузельные атомы Si значительно более подвижны, чем атомы Al. Тогда можно считать, что при этих условиях концентрация междуузельных атомов Si достигает стационарного значения. Это обстоятельство позволяет значительно упростить систему уравнений двухпотоковой модели диффузии [1]:

$$\begin{aligned} \frac{\partial C_i}{\partial t} &= D_i \frac{\partial^2 C_i}{\partial x^2} - \frac{C_i}{\tau_i} + GC_s, \\ \frac{\partial C_s}{\partial t} &= D_s \frac{\partial^2 C_s}{\partial x^2} + \frac{C_i}{\tau_i} - GC_s, \\ 0 &= D_I \frac{\partial^2 I}{\partial x^2} - \frac{I}{\tau(x)} + G^0, \end{aligned} \quad (1)$$

где  $G = \Phi \sigma N / t + \kappa$ ,  $I$ ;  $G^0 = \Phi \sigma N / t$ ;  $\tau_i^{-1} = \kappa_2 V$ ;  $N = 10^{22}$  см<sup>-3</sup>;  $C_s$ ,  $C_i$  — концентрации примеси в узлах и междуузельных решетках;  $\sigma$  — сечение образования дефекта;  $\Phi$  — доза облучения;  $t$  — время облучения;  $V$ ,  $I$  — концентрации вакансий

и междуузельных атомов матрицы;  $x_1, x_2$  — рекомбинационные константы прямой реакции Воткинса и анигиляции междуузельного атома  $C_i$  с вакансиями;  $D_i, D_s$  — коэффициенты диффузии примеси по междуузлям и узлам;  $D_I$  — коэффициент диффузии атомов матрицы по междуузлям.

Время жизни дефектов, состоящих из междуузельных атомов и Al,  $\tau(x)$ , связано с их концентрацией соотношением

$$\tau^{-1}(x) = KI(1 + \gamma C_s), \quad (2)$$

где  $\gamma C_s^0$  — концентрация дефектов, образовавших комплексы с атомами примеси ( $I + C_s \rightarrow C_i$ ),  $K$  — кинетический коэффициент для процесса бимолекулярной рекомбинации.

Если концентрация междуузельных атомов примеси определяется главным образом их взаимодействием с атомами кремния, то можно предположить, что концентрация примесей в междуузлии будет пропорциональна концентрации дефектов:

$$C_i(x) = \alpha I(C_i + C_s), \quad (3)$$

где  $\alpha$  — коэффициент пропорциональности. Это позволяет свести систему уравнений (1) к одному уравнению

$$\frac{\partial C}{\partial t} = \left[ \frac{\alpha D_i G}{KI(1 + \gamma C_s^0)} \right] \frac{\partial^2 C_i}{\partial x^2} = D_{\text{эфф}} \frac{\partial^2 C_i}{\partial x^2}, \quad (4)$$

где  $D_{\text{эфф}} = \alpha D_i G / KI(1 + \gamma C_s^0)$  — эффективный коэффициент диффузии примеси. Электронное облучение в наших условиях вызывает однородную генерацию междуузельного атома Si по всей толщине образца, следовательно, в этом случае эффективный коэффициент диффузии можно считать постоянной величиной.

Из работы [5] следует, что ошибка в определении глубины перехода не превышает 10 %.

Таким образом, мы получаем задачу с переменными граничными условиями  $C(0, t) = C_0$ ,  $0 < t \leq \tau$ ,  $\partial C / \partial x|_{x=0} = 0$ , где  $t \geq \tau$ , с начальным условием вида  $C(x, 0) = C_0(1 - \text{erf}(x/2\sqrt{D_0\tau_0}))$ ,  $\tau_0$  — время предварительной тепловой диффузии,  $t$  — время облучения электронным пучком,  $D_0$  — коэффициент тепловой диффузии.

Решение уравнения диффузии при этих начальных условиях будет

$$C_s(x) \approx C_0 \{ [1 - \text{erf}(x\sqrt{2/D_0\tau_0})] - (2/\pi)\sqrt{t/\tau} \exp(-x^2/4Dt) + (2/\pi) \times \\ \times (\exp(-x^2/4Dt\tau_0)) (x/2\sqrt{D_0\tau_0}) [1 - \text{erf}(x/2\sqrt{D_{\text{эфф}}t})] \}, \quad (5)$$

где  $\gamma = 1/\sqrt{1 + tD_{\text{эфф}}/\tau_0 D_0}$ .

Таким образом, электронное облучение с энергией  $E \sim 4$  мэВ и плотностью тока пучка  $J \sim 0.6$  мА/см<sup>-2</sup> при  $T = 30$  °С увеличивает долю междуузельных атомов Si, часть из которых участвует в вытеснении Al из узлов кристаллической решетки матрицы за счет реакции Воткинса. В свою очередь атомы Al, мигрируя по междуузлям до встречи с вакансиями, определяют глубину залегания  $p-n$ -перехода. Используя формулу (5) и данные работы [6] с учетом того, что  $C_i/C_s \approx 0.5 - 0.1$  [1], для диффузионных диодов, изготовленных из кремния  $n$ -типа марки КЭФ-2, после облучения электронами дозой  $10^{17}$  см<sup>-2</sup> получим смещение профиля распределения атомов Al в матрицу при  $C_s \approx 10^{16}$  см<sup>-3</sup> порядка  $2 \pm 4$  мкм, что меньше значений указанных параметров, приведенных в работах [3, 4].

Поскольку градиент концентрации примеси  $\nabla C$ , определяющий обратное пробивное напряжение  $U_{\text{об}}$ , связан с глубиной залегания  $p-n$ -перехода  $x_0$  соотношением  $\Delta C = \text{const } x_0^{-1}$  [7-10],  $U_{\text{об}}$  может быть выражено через  $x_0$ :

$$U_{\text{об}} = \text{const } x_0^{1/2}. \quad (6)$$

Следовательно, смещение профиля распределения Al в  $n$ -область на глубину  $2 \pm 4$  мкм вызывает повышение обратного пробивного напряжения  $p-n$ -перехода на величину

$$\frac{\Delta U_{\text{об}}}{U_{\text{об}}} \cdot 100\% \approx \frac{\Delta x}{x} \cdot 100\% \approx 2\%. \quad (7)$$

Экспериментальная проверка расчетов проводилась на кремниевых слоистых диодах, изготовленных из кремния *n*-типа марки КЭФ-(1-4). *p-n*-Переход создавался диффузией Al при  $T=1250 \div 1280$  °C.

Глубина диффузии составляла  $80 \div 90$  мкм. Радиационная обработка проводилась ускоренными электронами с энергией 4 мэВ в интервале флюенсов  $10^{16} \div 5 \cdot 10^{17}$  см<sup>-2</sup>. Средняя плотность пучка составляла 0.6 мА/см<sup>2</sup>.

Температура образца при облучении стабилизировалась и не превышала 60 °C. После радиационной обработки структуры подвергались термообработке при 500 °C с целью отжига радиационных дефектов.

Измерение характеристик диодов до и после облучения показало, что с возрастанием флюенса электронов напряжение пробоя обратной ветви ВАХ смещается в область высоких напряжений. При флюенсах  $10^{17}$  см<sup>-2</sup> значение обратного пробивного напряжения в зависимости от исходного удельного сопротивления увеличивалось до 30 %, что значительно превышает расчетную величину (7).

Дополнительной причиной возрастания  $U_{\text{об}}$  может быть выравнивание неоднородного распределения примеси Al на границе *p-n*-перехода [9] за счет подавления флюктуации концентрации атомов диффузанта. Уменьшение флюктуации в выделенном объеме  $\Omega$ ,  $\Omega = \frac{4}{3}\pi w^3$  ( $w$  — ширина объемного заряда) происходит в результате диффузионно-контролируемых реакций [5], генерации и рекомбинации узельного атома Al. В случае подавления флюктуации ( $\overline{\delta n^2}/n$ ) определяется парной корреляционной функцией для частиц одного сорта *n* (где *n* — число атомов диффузанта в объеме  $\Omega$ )

$$\overline{\delta n^2}/n = 1 + C_s \Omega^{-1} \int\limits_{(\Omega)} dr_1 dr_2 g_{ss}(|r_1 - r_2|), \quad (8)$$

$$g(r) = -(16\pi r_s^2 C_s)^{-1} \frac{\exp(-r/r_s)}{r_s},$$

где

$$r_s = (8\pi C_s \sqrt{\tau(x) D_{\text{эфф}}})^{-1/2}.$$

При дозах электронного облучения  $\Phi \approx 10^{17}$  см<sup>-2</sup> для  $x_1 \approx 10^{-15}$  см<sup>3</sup>/с,  $K \approx 1.6 \times 10^{-17}$  см<sup>3</sup>/с,  $D_i \approx 10^{-21}$  см<sup>2</sup>/с из (6)  $r_s \leq 10^{-6}$  см,  $w \gg r_s$ , ( $w \approx 10^{-5}$  см), что позволяет после интегрирования (6) получить приближенное значение для  $\overline{\delta n^2}/n$ , практически не зависящее от дозы облучения,

$$\overline{\delta n^2}/n \approx 3/4. \quad (9)$$

Используя результаты работ [9], с учетом (5) и (7) можно вычислить процент увеличения  $U_{\text{об}}$  для диффузионных диодов, изготовленных из кремния *n*-типа марки КЭФ-2:

$$\frac{\Delta U_{\text{об}}}{U_{\text{об}}} \cdot 100\% \approx 0.15 \left[ \frac{C_s^p + C_s(x)}{C_s^p - C_s(x)} \right]^{1/2} \cdot 100\% \approx 20 \div 25, \quad (10)$$

где  $C_s^p$ ,  $C_s(x)$  — концентрации узельных атомов фосфора и алюминия соответственно.

Таким образом, основной вклад в увеличение обратного пробивного напряжения при электронном облучении вносит выравнивание неоднородности распределения диффузанта на границе *p-n*-перехода.

#### Список литературы

- [1] Козловский В. В., Ломасов В. Н. // Обзоры по электрон. техн. 1985. Сер. 7. № 9 (1109). С. 56.
- [2] Козаринов Ю. Н., Козловский В. В., Ломасов В. Н., Питкевич Л. В. // ФТП. 1986. Т. 20. В. 9. С. 1577—1581.
- [3] Серяпин В. Г., Серяпина Н. В., Смирнов Л. С., Романов С. И., Ободников В. И. // ФТП. 1973. Т. 7. В. 1. С. 183—185.

- [4] Наркулов А. // ДАН УзССР. 1981. № 8. С. 30—32.  
[5] Барюш П. // Понная имплантация в полупроводнике и другие материалы. М., 1980. С. 174—183.  
[6] Смушко И. В. // ФММ. 1960. Т. 10. В. 2. С. 313—316.  
[7] Малкович Р. Ш. // ФММ. 1963. Т. 15. В. 6. С. 880—884.  
[8] Гутин А. М., Михайлов А. С., Янгин В. В. // ЖЭТФ. 1987. Т. 92. В. 6. С. 941—955.  
[9] Шокли Ю. // УФН. 1962. Т. 77. В. 1. С. 161—196.  
[10] Каипитонов А. П., Тучкевич В. М., Челноков В. И. // Электронно-дырочные переходы в полупроводниках. Ташкент, 1962. С. 152—176.

Институт ядерной физики АН УзССР  
Улугбек

Получено 9.01.1989  
Принято к печати 3.04.1989

*ФТП, том 23, вып. 9, 1989*

## БИСТАБИЛЬНЫЕ ДЕФЕКТЫ В GaAs, ВЫРАЩЕННОМ МЕТОДОМ ЖИДКОФАЗНОЙ ЭПИТАКСИИ

Брунков П. Н., Конников С. Г.,  
Папенцев М. И., Соболев М. М., Степанова М. Н.

При проведении исследований методом токовой нестационарной спектроскопии глубоких уровней (НСГУ) диода с барьером Шоттки Au— $n^0$ -GaAs, выращенным методом жидкокристаллической эпитаксии (ЖКФЭ), наблюдался спектр, который зависел от условий охлаждения образца перед проведением измерений: при примененном к образцу напряжении обратного смещения  $U_0$  или при  $U_0=0$  (рис. 1). Переход от одной спектральной характеристики к другой был обратимым. Подобные эффекты в A<sup>III</sup>B<sup>V</sup> впервые наблюдали у радиационно-стимулированного M-центра в InP [1] и связывали их с существованием двух различных конфигураций A и B одного и того же дефекта, разделенных барьерами, с одним и тем же зарядовым состоянием. Конфигурация A обра-

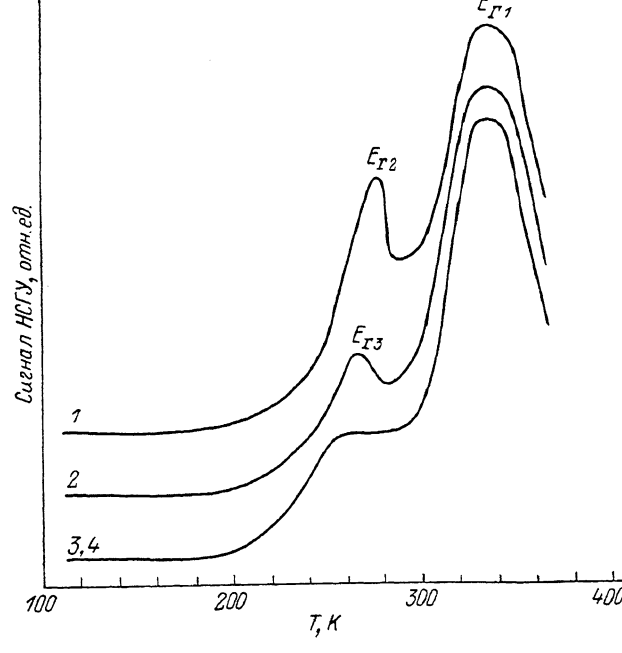


Рис. 1. Спектры НСГУ диода с барьером Шоттки Au— $n^0$ -GaAs после изохронного отжига в течение 20 мин при  $T_0=150$  (1, 2) и 300 К (3, 4).

$U_{\text{н.в.}} = 0$ ; 1, 3 — 1; 2, 4 — 0. Темп окна —  $10^6 \text{ с}^{-1}$ .

зовывалась при охлаждении образца с  $U_0=0$ , когда имелись носители в зоне. Конфигурация B образовывалась при  $U_0 \neq 0$ . Переход системы в конфигурацию A ограничивался активационным барьером  $E_a$ . Для конфигурации B активационный барьер отсутствовал.

Объектами нашего исследования служили нелегированные слои GaAs, полученные методом ЖКФЭ из ограниченного объема раствора-расплава в кварцевых контейнерах на  $p^+$ -GaAs : Zn-подложках с концентрацией  $p^+ \approx 10^{19} \text{ см}^{-3}$ . При температуре начала кристаллизации  $T_{\text{н.к.}} = 900—950^\circ\text{C}$  происходило обра-